

آنیل انحلالی، پیرسازی دومرحله‌ای و بررسی خسارت هیدروژنی آلیاژ آلمینیوم ۷۰۷۵

سلمان قلی‌پور^{*}، سیدرحمان حسینی و رضا شجاع‌رضوی

دانشکده مهندسی مواد، دانشگاه صنعتی مالک اشتر اصفهان

(دریافت مقاله: ۱۳۹۳/۰۳/۲۶ - دریافت نسخه نهایی: ۱۳۹۳/۱۲/۲۵)

چکیده – هدف از انجام این پژوهش، بررسی خسارت هیدروژنی آلیاژ آلمینیوم ۷۰۷۵، پس از انجام آنیل انحلالی و پیرسازی دومرحله‌ای است. آنیل انحلالی در دماهای ۵۰۰ تا ۵۷۵ درجه سانتی‌گراد به مدت ۱ تا ۲۰ ساعت انجام شد. مرحله اول پیرسازی دومرحله‌ای، در دماهای ۱۸۰، ۲۰۰ و ۲۲۰ درجه سانتی‌گراد به مدت ۳۰ دقیقه و مرحله دوم پیرسازی در دماهای ۱۲۰ و ۱۵۰ و ۲۰ درجه سانتی‌گراد به مدت ۱۰، ۱۵ و ۲۰ ساعت انجام گرفت. بررسی ساختاری به روش SEM و بررسی ترکیب شیمیایی رسوب‌ها به روش EDS صورت گرفت. افت استحکام کششی در فرایند T6 پس از هیدروژن‌دهی ۱۵۰ مگاپاسکال بود ولی در فرایند دومرحله‌ای این کاهش به ۵۰ مگاپاسکال رسید. در مجموع، استحکام کششی پس از شارژ هیدروژن، در فرایند پیرسازی دومرحله‌ای نسبت به فرایند T6 بهشدت افزایش یافت.

واژگان کلیدی: پیرسازی دومرحله‌ای، آنیل انحلالی، آلمینیوم ۷۰۷۵، خسارت هیدروژنی

Evaluation of Hydrogen Damage in Aluminum 7075 Alloy after Dissolution Annealing and Two-stage Aging

S. Gholipour*, S.R. Hosseini and R. Shoja Razavi

Faculty of Materials Engineering, Malek Ashtar University of Technology, Shahin Shahr, Iran

Abstract: This study aims at investigation of the hydrogen damage after dissolution annealing and two-stage aging in aluminum 7075 alloy. Dissolution annealing was performed at 500 to 575 °C for duration of 1 to 20 hours. The first stage of two-stage aging was performed at 180, 200 and 220 °C for 30 minutes. The second stage was carried out at 120 and 150 °C for 10, 15 and 20 hours. Structural characteristics and chemical composition of precipitates was investigated using SEM and EDS methods,

* مسئول مکاتبات پست الکترونیکی: S.gholipour@gmail.com

respectively. Reduction of the tensile strength in T6 process after hydrogenation reached to 150 MPa, although it decreased only, about 50 MPa in the two-stage process. Overall, tensile strength after hydrogen charging was significantly increased in the two-stage aging compared to the T6 process.

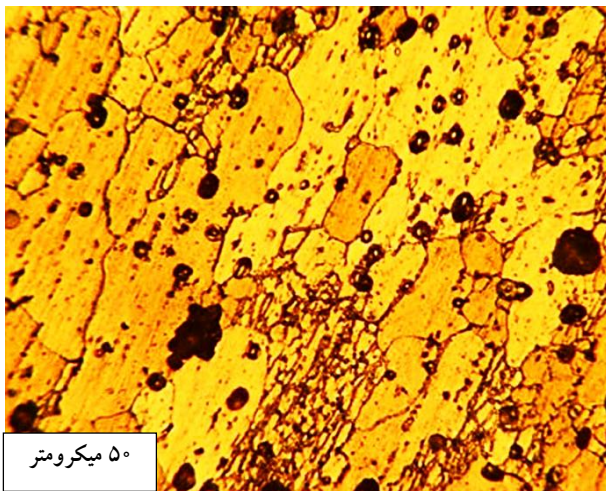
Keywords: Two-stage aging, Dissolution annealing, Aluminum 7075, Hydrogen damage

پیرسازی را در دمای ۱۰۰ تا ۱۶۰ درجه سانتی گراد انجام دادند و رابطه‌ای میان سختی، استحکام کششی و هدایت الکتریکی پیدا نمودند به گونه‌ای که با افزایش سختی پس از عملیات حرارتی T₆، هدایت الکتریکی کاهش یافت. اونورو [۳] در سال ۲۰۰۹ میلادی خوردگی تنشی آلیاژ آلمینیوم ۷۰۷۵ را پس از فرایندهای RRA و T₆ در دمای ۲۰ درجه سانتی گراد و در محلول NaCl (۰ تا ۵ درصد) بررسی کرد. مقاومت به خوردگی تنشی پس از عملیات حرارتی RRA نسبت به فرایند T₆ افزایش یافت. دلیل افزایش مقاومت به خوردگی تنشی برای فرایند RRA، فرایپرسازی و درشت شدن رسوب‌های فاز دوم گزارش شد. آتنونی و همکارانش [۴] در سال ۲۰۱۱ میلادی روی رفتار خوردگی تنشی آلیاژ آلمینیوم ۷۰۷۵ در محیط کلرید سدیم در دمای محیط تحت اعمال بارهای مکانیکی کششی و پیچشی بررسی‌هایی انجام دادند و به این نتیجه رسیدند که مقاومت به خوردگی تنشی در بارهای فشاری نسبت به تنش‌های کششی بیشترین مقدار است. سانگ و همکارانش [۵] در سال ۲۰۱۲ میلادی روی اثر نرخ سرد کردن آلیاژ، پس از انجام فرایند آنیل انحلالی و اثر آن بر ریزساختار بررسی انجام دادند. آن‌ها به این نتیجه رسیدند که با کاهش تأخیر در سرد کردن، رسوب‌های فاز دوم همگن‌تر شد و استحکام کششی افزایش یافت. در سال ۲۰۱۳ میلادی رانگانتا و همکارانش [۶] روی مقاومت به خوردگی تنشی آلیاژ آلمینیوم ۷۰۴۹ پس از عملیات حرارتی T₆ و RRA پژوهش‌هایی انجام دادند و توانستند خواص مکانیکی و مقاومت به خوردگی تنشی را توسط عملیات حرارتی چند مرحله‌ای افزایش دهند. در سال ۲۰۱۴ دکوئینو و همکارانش [۷] ریزساختار آلیاژ آلمینیوم ۷۰۷۵ تولید شده به روش روزن‌رانی (اکستروژن) را بررسی کردند. در پژوهش‌های صورت گرفته، رسوب‌های اکسیدی در روش

۱- مقدمه

آلیاژ آلمینیوم ۷۰۷۵ کاربرد بسیاری در صنایع مختلف از جمله صنایع هوایی، فضایی و هوافضا دارد. بدنه هواپیما، فضایپیما، موشک‌ها و ماہواره‌ها از آلیاژ آلمینیوم ۷۰۷۵ ساخته می‌شود. هیدروژن اتمی و سایر عوامل موجود در محیط کاری فضایپیماها و ماہواره‌ها باعث تخریب آلیاژ آلمینیوم ۷۰۷۵ می‌شود. از این رو با انجام عملیات حرارتی و کاهش مناطقی که میل بالایی برای واکنش با هیدروژن دارند، می‌توان استحکام کششی آلیاژ ۷۰۷۵ را پس از شارژ هیدروژن کنترل کرد. آلیاژ آلمینیوم ۷۰۷۵ به دلیل استحکام بالا (در مقایسه با سایر آلیاژ‌های آلمینیوم) و قابلیت پذیرش انواع عملیات حرارتی سهم زیادی از کاربردهای صنعتی را به خود اختصاص داده است. آلیاژ آلمینیوم ۷۰۷۵ قابلیت عملیات‌های حرارتی T₆، T_{7۳}، بازگشت و پیرسازی مجدد و هم‌چنین پیرسازی دو مرحله‌ای را دارد. مشاهده شده است که بیشینه سختی آلیاژ ۷۰۷۵ در حضور مناطق GP و رسوب‌های θ' حاصل می‌شود [۱]. در نتیجه دما و زمانی که بتواند ترکیبی از این مناطق در زمینه‌ی آلیاژ حاصل کند، موجب ایجاد بالاترین سختی و استحکام خواهد شد. انجام عملیات پیرسازی مصنوعی در دمایی که بالاتر از دمای تشکیل مناطق GP باشد، منجر به تشکیل مناطق θ' و یا θ می‌شود و در نتیجه فرایپرسازی رخ می‌دهد. ترتیب تشکیل رسوب در فرایند پیرسازی آلیاژ آلمینیوم ۷۰۷۵ به صورت زیراست [۱]:

(۱) $(MgZn_2) \rightarrow (MgZn_2) \rightarrow$ مناطق GP \rightarrow محلول فوق اشباع عملیات حرارتی پیرسازی دو مرحله‌ای تاثیر به سزایی در رفتار خوردگی تنشی آلیاژ آلمینیوم ۷۰۷۵ دارد. کلارک و همکارانش [۲] روی خواص مکانیکی و فیزیکی آلیاژ آلمینیوم ۷۰۷۵ پس از عملیات حرارتی T₆ پژوهش‌هایی انجام دادند. آن‌ها فرایند آنیل انحلالی را در دماهای ۴۲۰ تا ۵۳۰ درجه سانتی گراد و



شکل ۱- تصویر میکروسکوپی نوری از آلیاژ آلمینیوم ۷۰۷۵ خام در جهت (RD)

در فرایند روزنرانی به شکل قالب و جهت اعمال نیرو بستگی دارد [۷]. برای انجام عملیات حرارتی نمونه‌هایی به ابعاد $20 \times 20 \times 20$ میلی‌متر آماده‌سازی شد. برای انجام فرایند عملیات حرارتی از کوره هوایچرخشی نابترم مدل N30/A موجود در آزمایشگاه عملیات حرارتی دانشگاه صنعتی مالک‌اشتر اصفهان استفاده شد. ابعاد کوره استفاده شده شامل طول ۳۴ سانتی‌متر، عرض ۳۱ سانتی‌متر و عمق ۴۲ سانتی‌متر بود. برای انجام فرایند پیرسازی دو مرحله‌ای ابتدا عملیات حرارتی آنیل انحلالی انجام شد. به منظور انجام عملیات حرارتی آنیل انحلالی نمونه‌هایی در دماهای ۴۵۰، ۴۷۵، ۵۰۰، ۵۲۵، ۵۵۰ و ۵۷۵ درجه سانتی‌گراد هر کدام به مدت ۱، ۵، ۱۰، ۱۵ و ۲۰ ساعت نگهداری شدند. برای ایجاد محلول جامد فوق‌اشباع نمونه‌ها از کوره خارج شد و در زمان کمتر از ۵ ثانیه در محلول یخ و نمک سریع سرد شدند. با مخلوط یخ و نمک دمای محیط خنک‌کننده به حدود ۱۵ درجه سانتی‌گراد رسید. برای انجام مرحله اول فرایند پیرسازی دو مرحله‌ای، پیرسازی در دماهای ۲۰۰ و ۲۲۰ درجه سانتی‌گراد به مدت ۳۰ دقیقه انجام شد. در مرحله دوم، پیرسازی در دماهای ۱۲۰ و ۱۵۰ درجه سانتی‌گراد به مدت ۱ تا ۳۰ ساعت صورت گرفت. چرخه عملیات حرارتی برای پیرسازی دو مرحله‌ای در دماهای مختلف در شکل ۲ آورده شده است. فرایند پیرسازی

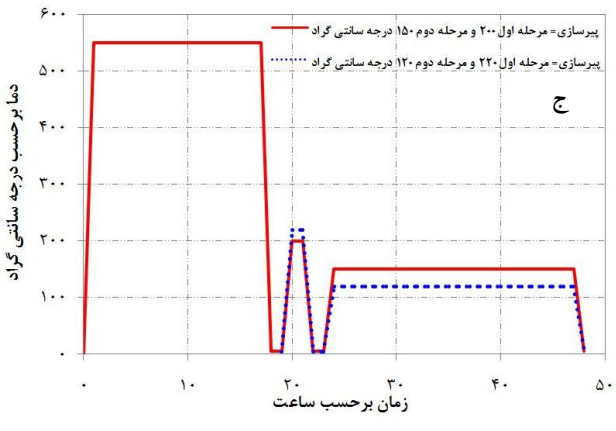
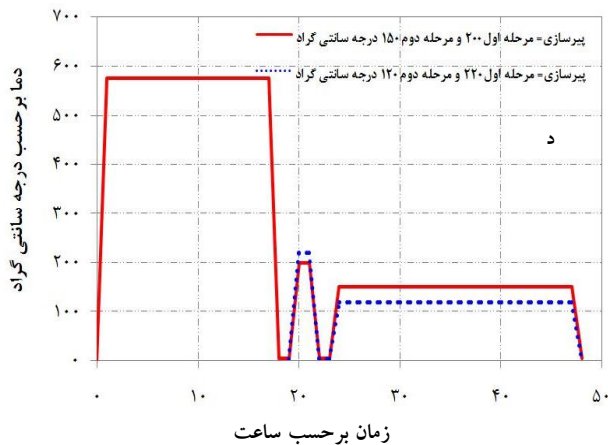
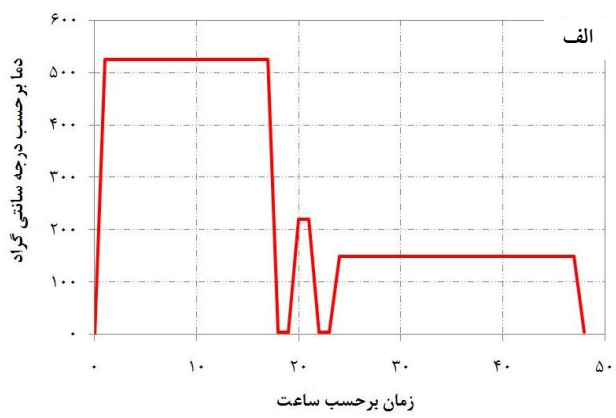
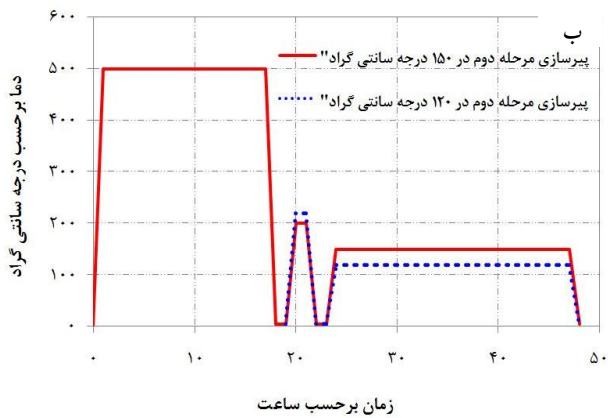
روزنرانی نسبت به سایر روش‌های تولیدی بیشتر گزارش شده است. قطعاً رسوب‌های اکسیدی بر دما و زمان عملیات حرارتی آلیاژ آلمینیوم ۷۰۷۵ اثرگذارند. تاکنون روی عملیات حرارتی آلیاژ آلمینیوم ۷۰۷۵ نورده بررسی‌های زیادی صورت گرفته است. در این پژوهش عملیات حرارتی آلیاژ آلمینیوم ۷۰۷۵ روزنرانی شده که اختلاف چشمگیری با عملیات حرارتی آلیاژ نورده دارد، بررسی شده است. آلیاژ آلمینیوم ۷۰۷۵ در بدنه ماهواره و ماهواره‌بر کاربرد دارد. بسته به مأموریتی که ماهواره در فضا دارد در بدنه ماهواره تخریب ایجاد می‌شود. یکی از عوامل مخرب در فضا بر بدنه ماهواره هیدروژن اتمی است. در طول شباهنگی روز، وقتی یک ماهواره در مقابل نور خورشید قرار می‌گیرد، هیدروژن اتمی به بدنه آن نفوذ می‌کند. با نفوذ هیدروژن اتمی به بدنه ماهواره، تردی هیدروژنی در مرازهای دانه و مرازهای بین‌دانه ایجاد می‌شود. سپس با عناصر مس و منیزیم در آنها بالا است ایجاد می‌شود. سپس با ایجاد چاله‌های فضایی و یا طوفان‌های خورشیدی، آلیاژ تحت تنش قرار می‌گیرد و باعث کاهش استحکام آلیاژ آلمینیوم ۷۰۷۵ می‌شود [۸]. در این پژوهش به اثر هیدروژن اتمی بر استحکام کششی آلیاژ آلمینیوم ۷۰۷۵ پرداخته می‌شود.

۲- مواد و روش پژوهش

آلیاژ آلمینیوم ۷۰۷۵ به شکل تسمه با ابعاد $20 \times 150 \times 50$ میلی‌متر تهییه شد. ترکیب شیمیایی آلیاژ که توسط طیف‌سنج جرقه‌ای (SES) اندازه‌گیری و با استاندارد ISO B209 مقایسه شده است [۹]، در جدول ۱ آورده شده است. تصویر میکروسکوپی آلیاژ آلمینیوم ۷۰۷۵ در جهت روزنرانی در شکل ۱ نمایش داده شده است. با توجه به تصویر میکروسکوپی نمایان است که دانه‌ها در جهت روزنرانی کشیده شده‌اند. در این شکل، زمینه محلول جامد عناصر آلیاژی مانند روی، منیزیم و مس در آلمینیوم است که به آن فاز آلفا (α) می‌گویند. فازهای تیره رسوب‌های نامحلولند. این رسوب‌ها بسته به ترکیب شیمیایی آلیاژ گونه‌های زیادی دارند [۱۰]. جهت‌گیری دانه‌ها

جدول ۱- مقایسه ترکیب شیمیایی شمش و استاندارد آلمان برای آلیاژ آلمینیم ۷۰۷۵ بر حسب درصد وزنی

| عنصر (درصد) | آهن | مس | منیزیم | کروم | تیتانیم | روی | آلومینیم |
|------------------------------|------|-----------|---------|-----------|---------|---------|------------|
| مطابق استاندارد ISO B209 [۴] | ۰/۱۰ | ۰/۱۰-۰/۲۰ | ۲/۰-۳/۰ | ۰/۱۸-۰/۳۳ | ۰/۲۰ | ۵/۰-۶/۰ | باقی مانده |
| مطابق آزمون (SES) | ۰/۰۳ | ۰/۱۵ | ۲/۰۵ | ۰/۲۶ | ۰/۰۳ | ۵/۰۷ | باقی مانده |



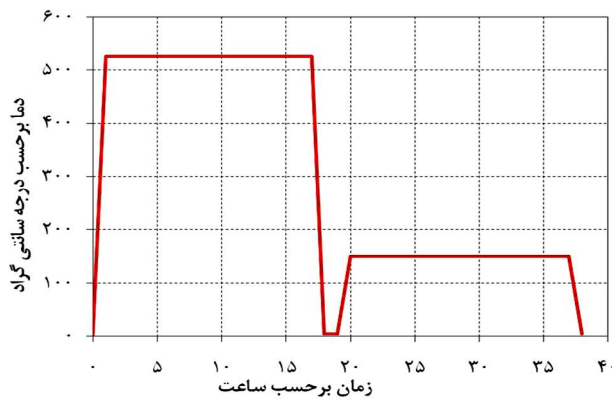
شکل ۲- چرخه عملیات حرارتی پیرسازی دو مرحله‌ای پس از آنیل انحلالی در دماهای (الف)، (ب)، (ج)، (د) ۵۵°، ۵۷۵° و ۵۰° درجه سانتی گراد (پیرسازی مرحله اول در دماهای ۲۰° و ۲۲° درجه سانتی گراد و پیرسازی مرحله دوم در دماهای ۱۵° و ۱۷° درجه سانتی گراد انجام شده است)

گرفت که محیط سردکردن نمونه‌ها پس از فرایند آنیل انحلالی اثر بهسزایی روی شکل رسوب، پس از پیرسازی دارد [۱۱]. هرچه سرعت سردکردن در فرایند آنیل انحلالی بیشتر باشد، رسوب ایجاد شده پس از فرایند پیرسازی ریزتر است. برای بررسی ساختاری، سطح نمونه‌ها توسط سنباده از جنس ذرات SiC تا شماره ۳۰۰۰ سنباده کاری و توسط پودر آلمینیا و

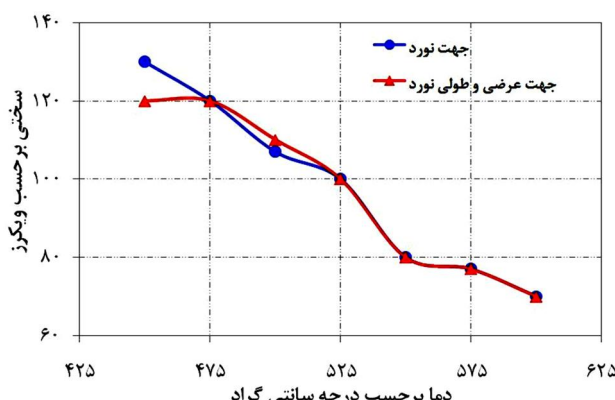
T6 پس از آنیل انحلالی در دمای ۱۵° درجه سانتی گراد به مدت ۵ تا ۲۰ ساعت انجام شد. در شکل ۳ چرخه عملیات حرارتی منتخب برای فرایند T6 آورده شده است. تمامی نمونه‌ها پس از پیرسازی در محلول یخ و نمک با دمای حدود ۱۵-۱۷ درجه سانتی گراد سرد شدند. با توجه به بررسی‌های صورت گرفته توسط پژوهشگران می‌توان نتیجه

جدول ۲- ترکیب شیمیایی محلول حک کاری کلر و گراف برای حک کاری شیمیایی آلیاژ آلومینیم ۷۰۷۵

| ردیف | محلول حک کاری | ترکیب شیمیایی |
|------|---------------|--|
| ۱ | کلر | ۲ میلی لیتر اسید فلوریدریک + ۳ میلی لیتر اسید کلریدریک + ۵ میلی لیتر اسید نیتریک + ۱۹۰ میلی لیتر آب مقطر |
| ۲ | گراف | ۱۵ میلی لیتر اسید نیتریک + ۵٪ میلی لیتر اسید فلوریدریک + ۴۸ درصد + ۳ گرم اکسید کروم + ۸۴ میلی لیتر آب مقطر + (Cr_2O_3) |



شکل ۳- چرخه عملیات حرارتی T6 انجام شده روی آلیاژ آلومینیوم ۷۰۷۵



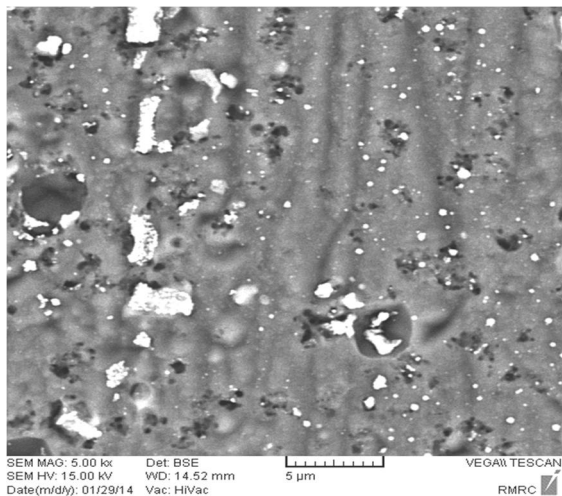
شکل ۴- نمودار سختی بر حسب دمای آنیل انحلالی برای آلیاژ آلومینیوم ۷۰۷۵ در جهت روزنرانی (ND، RD و TD)

در جهت‌های TD و ND تغییر چندانی نداشت. با بررسی ریزساختار آلیاژ پس از آنیل انحلالی در دمای ۴۷۵ درجه سانتی‌گراد، در جهت TD و RD دانه‌ها به شکل ستونی مشاهده شدند. سپس دمای فرایند آنیل انحلالی به ۵۰۰ درجه سانتی‌گراد افزایش یافت. با انجام فرایند آنیل انحلالی در دمای ۵۰۰ درجه

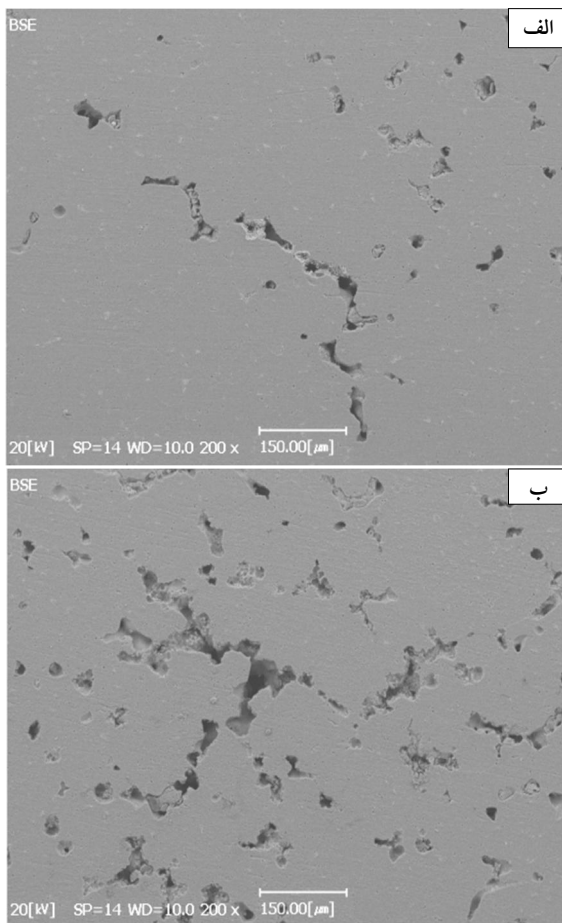
پارچه‌ای از جنس ماهوت^۳ که روی صفحه‌ای در حال دوران نصب شده بود، صیقل کاری شد. برای مشاهده دانه‌ها، رسوب‌ها و مرزدانه‌ها از دو نوع محلول حک کاری کلر و گراف استفاده شد. ترکیب شیمیایی محلول‌های حک کاری در جدول ۲ آورده شده است. بررسی ساختاری توسط میکروسکوپ نوری المپیو^۴ مدل PME3 انجام شد. بررسی سختی پیش و پس از عملیات حرارتی به روش ویکرز و با فرورونده الماسی با سطح چهارگوش انجام شد. پس از تکمیل فرایندهای T6 و دو مرحله‌ای، خسارت هیدروژنی به روش استاتیک بررسی شد. برای نمونه‌سازی آزمون کشش از استاندارد E8-01 استفاده شد [۱۲]. برای انجام آزمون، نمونه‌هایی به طور جداگانه هیدروژن‌دهی شدند و تحت تنش با نرخ کرنش $2 \times 10^{-4} S^{-1}$ قرار گرفتند.

۳- نتایج و بحث

در شکل ۴ نتایج سختی سنجی در جهت‌های RD، ND و TD پس از فرایند آنیل انحلالی در دماهای مختلف عملیات حرارتی نشان داده شده است. سختی در نمونه خام (عملیات حرارتی نشده) در جهت ND برابر با 130 ± 3 ویکرز و در جهت‌های RD و TD برابر با 120 ± 3 ویکرز بود. پس از انجام عملیات حرارتی آنیل انحلالی در دمای ۴۵۰ درجه سانتی‌گراد، سختی در جهات RD و TD تغییر نکرد. با افزایش دمای فرایند آنیل انحلالی تا ۴۷۵ درجه سانتی‌گراد، سختی در جهت RD به اندازه ۱۰ ویکرز کاهش یافت و به 120 ± 3 ویکرز رسید. با انجام آنیل انحلالی در دمای ۴۷۵ درجه سانتی‌گراد، سختی آلیاژ

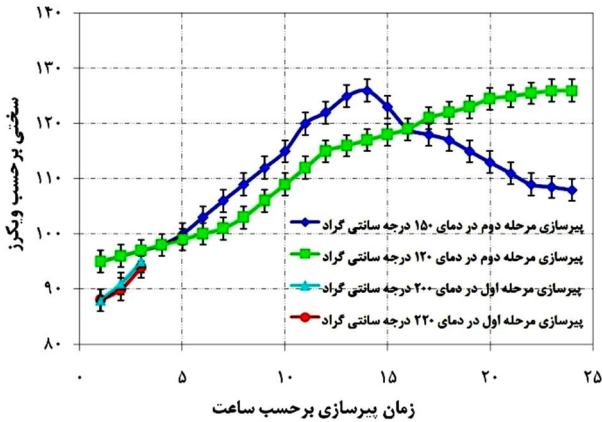


شکل ۵- تصویر میکروسکوپی الکترونی روبشی (BSE) از آلیاژ آلومینیوم ۷۰۷۵ پس از عملیات حرارتی آنیل انحلالی در دمای ۵۲۵ درجه سانتی گراد به مدت ۱۷ ساعت



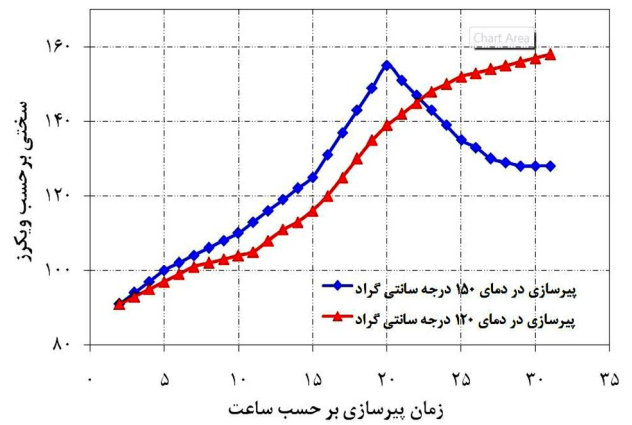
شکل ۶- تصویر میکروسکوپی الکترونی روبشی از حفرات ایجاد شده پس از آنیل انحلالی در دمای (الف) ۵۵۰ و (ب) ۵۷۵ درجه سانتی گراد

سانانی گراد، سختی در جهت های ND و TD به 110 ± 3 و در جهت RD به 107 ± 3 ویکرز رسید. در دمای ۵۲۵ درجه سانتی گراد، پس از گذشت ۱۵ ساعت، فرایند آنیل انحلالی تکمیل شده، سختی در همه جهت ها به 100 ± 3 ویکرز کاهش یافت. در شکل ۵ تصویر میکروسکوپی الکترونی روبشی از آلیاژ آلومینیوم ۷۰۷۵ پس از عملیات آنیل انحلالی نشان داده است. ترکیب شیمیایی رسوب های فاز دوم پس از فرایند آنیل انحلالی مورد بررسی قرار گرفت. با توجه به شکل ۵، پس از آنیل انحلالی گروهی از رسوب های فاز دوم در ساختار مشاهده شدند. پس از تعیین ترکیب شیمیایی رسوب توسط طیف سنج تفکیک انرژی مشخص شد که رسوب های مشاهده شده پایدار بوده، در فرایند ذوب و آلیاژ سازی به وجود آمده اند. رسوب های فاز دوم موجود در شکل ۵ شامل ترکیب CuAl_2O_4 و $\text{Al}_7\text{Cu}_2\text{Fe}$ هستند [۱۳]. در دماهای بیشتر از ۵۵۰ درجه سانتی گراد ذوب موضعی در نمونه ها ایجاد شد. در شکل ۶ تصویر میکروسکوپی الکترونی روبشی از حفرات ایجاد شده پس از ذوب موضعی مشاهده می شود. با افزایش دما و زمان آنیل انحلالی از دمای ۵۵۰ درجه سانتی گراد، تعداد و اندازه حفرات افزایش پیدا کرد. با توجه به شکل ۶ ب در دمای ۵۷۵ درجه سانتی گراد تعداد حفرات در مرزدانه به حدی رسیده که دانه ها از یکدیگر جدا شده اند. برای بررسی خواص مکانیکی آلیاژ آلومینیوم ۷۰۷۵ پس از عملیات پیرسازی دو مرحله ای، از دو آزمون سختی سنجی و کشش استفاده شد. در شکل ۷ نمودار سختی بر حسب زمان پیرسازی در دمای ۱۲۰ و ۱۵۰ درجه سانتی گراد، برای فرایند T6 آورده شده است. در فرایند T6 با پیرسازی در دمای ۱۵۰ درجه سانتی گراد، به مدت ۹۰ ± 3 ساعت بیشترین سختی حاصل شد و سختی آلیاژ از 150 ± 3 ویکرز رسید و با ادامه پیرسازی، سختی آلیاژ کاهش پیدا کرد. به گونه دیگر می توان گفت، با افزایش زمان پیرسازی از ۲۰ ساعت، فرایند پیرسازی ایجاد شده است. با پیرسازی در دمای ۱۲۰ درجه سانتی گراد، به مدت ۳۰ ساعت، سختی آلیاژ به 150 ± 3 ویکرز رسید و در آلیاژ، فرایند پیرسازی



شکل ۸- نمودار سختی بر حسب زمان پیرسازی برای عملیات حرارتی پیرسازی دو مرحله‌ای، پس از مرحله اول و مرحله دوم

فرایپرسازی انجام نشد. دلیل افزایش سختی آلیاژ، کاهش اندازه و افزایش تعداد رسوب‌های فاز دوم در ریزساختار است. در شکل ۹ تصویر میکروسکوپی الکترونی رویشی از آلیاژ پس از انجام فرایند پیرسازی دو مرحله‌ای آورده شده است. با توجه به شکل ۹، در ریزساختار دونوع رسوب ریز و درشت مشاهده می‌شود. رسوب‌های درشت در مرحله اول پیرسازی به وجود آمد، در مرحله دوم فرایند عملیات حرارتی به وجود آمد. در مرحله دوم کششی آلیاژ آلومینیوم ۷۰۷۵ پس از فرایند پیرسازی دو مرحله‌ای بررسی شد و آزمون کشش برای نمونه‌های خام، آنیل اتحالی، T6 و پیرسازی دو مرحله‌ای انجام شد. نتایج مربوط به آزمون کشش پس از هیدروژن‌دهی قبل و پس از عملیات حرارتی در شکل ۱۰ آورده شده است. با توجه به شکل ۱۰ می‌توان گفت پس از فرایند پیرسازی دو مرحله‌ای استحکام به حدود ۴۳۰ مگاپاسکال رسیده است. مجذ و همکارش [۱۳] در سال ۲۰۰۱ اثر رسوب‌های فاز دوم بر چگونگی شکست را بررسی کردند. این پژوهش نشان داد که رسوب‌های فاز دوم، محلی برای ایجاد جوانه ترک‌اند. اندازه رسوب‌های فاز دوم و نرخ کرنش تاثیر بسزایی روی نوع شکست آلیاژ دارد. با توجه به پژوهش‌های مجذ، یک گروه ترک در زیر رسوب‌های فاز دوم ایجاد می‌شوند که ضمن تشدید

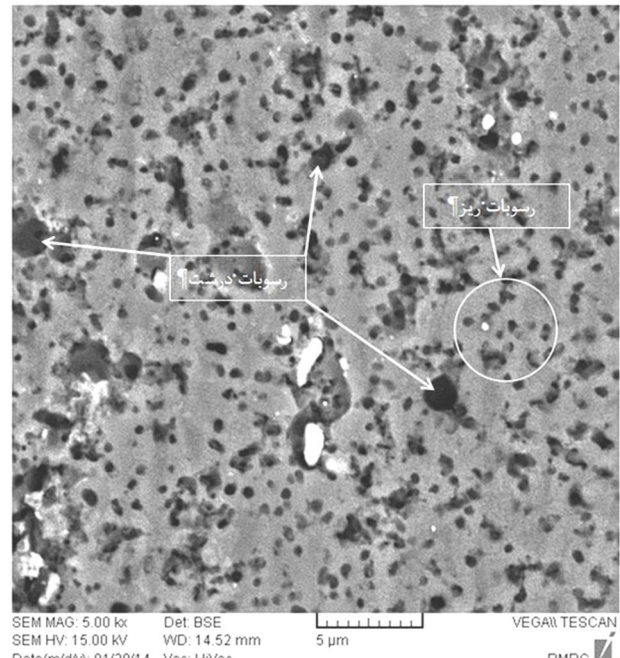


شکل ۷- نمودار سختی بر حسب زمان پیرسازی برای فرایند عملیات حرارتی T6 پیرسازی شده در دمای ۱۵۰ درجه سانتی گراد

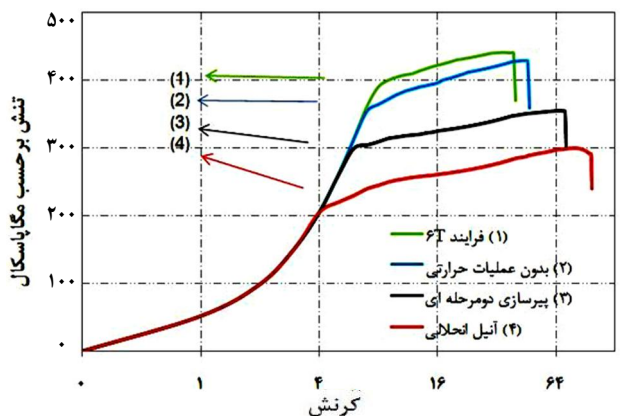
حاصل نشد. در فرایند T6 استحکام و سختی آلیاژ نسبت به فرایند پیرسازی دو مرحله‌ای افزایش می‌یابد ولی آلیاژ، مستعد به تردی هیدروژنی می‌شود. پیرسازی آلیاژ در دمای بالاتر از ۱۶۰ درجه‌ی سانتی گراد باعث تشکیل مستقیم فاز α یا θ می‌شود که این امر موجب مقاومت مناسب آلیاژ در برابر تردی هیدروژنی می‌شود ولی استحکام کششی را کاهش می‌دهد [۱۴]. از طرفی، مدت نگهداری قطعه در کوره برای پیرسازی زیاد است. با توجه به دلایل گفته شده عملیات پیرسازی دو مرحله‌ای طراحی شد. در شکل ۸ نمودار سختی ویکرز بر حسب زمان پیرسازی، برای فرایند پیرسازی دو مرحله‌ای در دمای ۱۲۰ و ۱۵۰ درجه سانتی گراد آمده است. سختی آلیاژ پس از آنیل اتحالی به حدود 88 ± 2 ویکرز رسید. با انجام پیرسازی مرحله اول در دمای ۲۰۰ و ۲۲۰ درجه سانتی گراد، سختی تغییری نداشت و پس از پیرسازی مرحله اول از 88 ± 3 ویکرز به حدود 95 ± 3 ویکرز افزایش یافت. در مرحله دوم پیرسازی در دمای ۱۵۰ درجه سانتی گراد، سختی آلیاژ پس از پیرسازی در زمان حدود ۱۵ ساعت از 95 ± 3 به 130 ± 3 ویکرز رسید و با افزایش زمان پیرسازی از ۱۵ ساعت سختی کاهش یافت و به عبارتی دیگر فرایپرسازی صورت گرفت. با توجه به شکل ۸ با پیرسازی در دمای ۱۲۰ درجه سانتی گراد، به مدت ۲۵ ساعت سختی تا 126 ± 3 ویکرز افزایش یافت و در این فرایند

کششی بالاترین مقدار بوده، از ۳۵۰ به ۴۳۰ مگاپاسکال رسیده است.

در شکل ۱۱ نمودار تنش کرنش پس از عملیات حرارتی پیرسازی دومرحله‌ای در زمان‌های مختلف هیدروژن‌دهی (۰، ۴، ۸ و ۱۲ ساعت) آورده شده است. استحکام آلیاژ آلومینیوم در عملیات حرارتی پیرسازی دومرحله‌ای پس از هیدروژن‌دهی به مدت ۱۲ ساعت از ۴۳۰ به ۴۰۰ مگاپاسکال کاهش یافت. پژوهش‌ها نشان داده است که انجام فرایند دومرحله‌ای باعث می‌شود که رسوب‌های موجود در مرزهای دانه از حالت پیوسته خارج و به شکل پیوسته ظاهر شوند [۱۵]. با ازبین رفتن پیوستگی رسوب‌های فاز دوم در مرزدانه‌ها، مکانیزم تردی هیدروژنی از نوع مرزدانه‌ای به درون دانه‌ای تبدیل می‌شود. در شکل ۱۲ نمودار تنش کرنش پس از فرایند عملیات حرارتی T6 در زمان‌های مختلف هیدروژن‌دهی مشاهده می‌شود. در فرایند عملیات حرارتی T6 پس از هیدروژن‌دهی به مدت ۱۲ ساعت استحکام کششی از ۴۵۰ مگاپاسکال به ۳۵۰ مگاپاسکال رسید. دلیل کاهش استحکام کششی پس از هیدروژن‌دهی در فرایند T6، افزایش مرزهای بین فازی است. با افزایش تعداد و کاهش اندازه رسوب‌های فاز دوم، مرزهای بین فازی افزایش می‌یابد [۱۶]. در شکل ۱۳ تصویر SEM از سطح شکست نمونه پس از فرایند پیرسازی دومرحله‌ای و هیدروژن‌دهی آمده است. با توجه به شکل ۱۳، در سطح شکست نمونه گروهی از فورفتگی‌های فنجانی شکل مشاهده شد. در تصویر ترک‌هایی دیده می‌شود که اطراف رسوب‌ها ایجاد شده‌اند و دهانه ترک‌ها باز شده است. باز شدن دهانه ترک‌ها یکی از نشانه‌های شکست نرم است. می‌توان گفت یک ترک بین فازی در ریزساختار ایجاد می‌شود که به دلیل دور بودن رسوب‌ها از یکدیگر دهانه ترک باز و انرژی آن گرفته می‌شود. وانگ و همکارانش [۱۶] در سال ۲۰۱۴ روی تأثیرات عملیات حرارتی بازگشت و پیرسازی مجدد (RRA) در آلیاژ آلومینیوم ۷۰۵۰ بررسی کرده، حرکت ترک را در ریزساختار شناسایی کردند. آن‌ها به این نتیجه رسیدند که پس از عملیات حرارتی RRA و T7۳ رسوب‌های فاز دوم در مرزدانه‌ها ایجاد

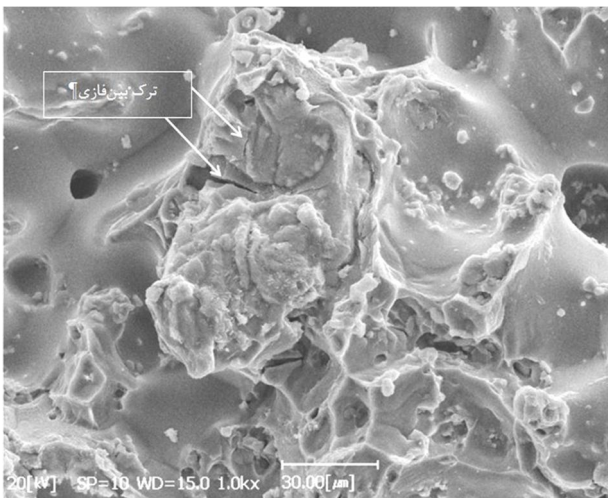


شکل ۹- تصویر میکروسکوپی الکترونی روبشی (BSE) از آلیاژ آلومینیوم ۷۰۷۵ پس از فرایند پیرسازی دومرحله‌ای (رسوب‌های سیاه رنگ از نوع MgZn₂ هستند)



شکل ۱۰- نمودار تنش کرنش برای آلیاژ آلومینیوم ۷۰۷۵ پس از انجام فرایندهای مختلف عملیات حرارتی

ترک‌دار شدن در اثر حضور هیدروژن، موجب می‌شوند که تنش در حوزه اطراف رسوب‌های فاز دوم پخشن شود. پس هرچه تعداد رسوب‌های فاز دوم در ریزساختار بیشتر باشد، استحکام کششی آلیاژ افزایش می‌یابد. در عملیات حرارتی T6 به دلیل اندازه ریز و توزیع یکنواخت رسوب‌ها، استحکام

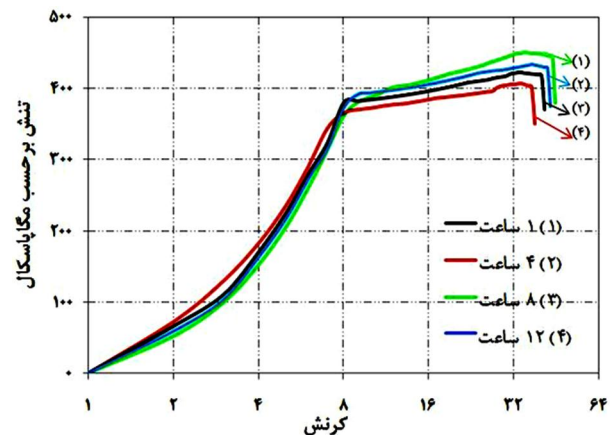


شکل ۱۳- تصویر میکروسکوپی الکترونی رویشی (SEM) از سطح شکست پس از پرسازی دومرحله‌ای و هیدروژن‌دهی

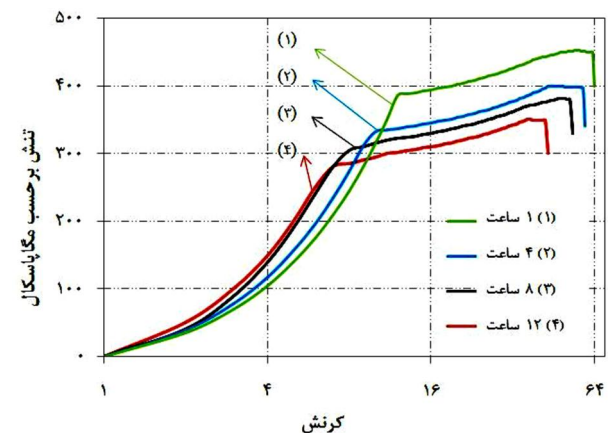
از انجام عملیات حرارتی دومرحله‌ای نسبت به فرایند T6 افزایش یافت. در فرایند دومرحله‌ای پس از شارژ هیدروژن، استحکام ۵۰ مگاپاسکال و در فرایند T6 پس از شارژ هیدروژن استحکام در حدود ۱۵۰ مگاپاسکال کاهش یافت.

عملیات حرارتی پرسازی دومرحله‌ای تأثیر به سزایی بر سختی آلیاژ آلمینیوم ۷۰۷۵ روزنرانی شده دارد. سختی پس از عملیات حرارتی پرسازی دومرحله‌ای به حدود 130 ± 2 ویکرز و پس از فرایند T6 به حدود 150 ± 2 ویکرز رسید. در پرسازی دومرحله‌ای دونوع رسوب ریز و درشت در ریزساختار مشاهده شد. رسوب‌های درشت در مرحله اول و رسوب‌های ریز در مرحله دوم پرسازی ایجاد شده‌اند.

دمای تبلور مجدد در آلیاژ آلمینیوم ۷۰۷۵ روزنرانی شده، حدود ۵۲۵ درجه سانتی‌گراد بود و در دمای بیشتر از ۵۵۰ درجه سانتی‌گراد در نمونه‌ها ذوب موضعی ایجاد شد. ساز و کارخوردگی در شرایط تنشی پس از تزریق هیدروژن در آلیاژ آلمینیوم ۷۰۷۵ تردی هیدروژنی است و در مرزدانه‌ها و مرزهای بین‌فازی که غلظت مس، منیزیم و روی بالاست، تردی هیدروژنی اتفاق می‌افتد. ترک‌ها از مرزهای بین‌فازی جوانه‌زده، رشد می‌کنند.



شکل ۱۱- بررسی استحکام کششی آلیاژ آلمینیوم ۷۰۷۵ در زمان‌های مختلف نگهداری در محیط هیدروژن پس از عملیات حرارتی پرسازی دومرحله‌ای



شکل ۱۲- بررسی استحکام کششی آلیاژ آلمینیوم ۷۰۷۵ در زمان‌های مختلف نگهداری در محیط هیدروژن پس از عملیات حرارتی T6

شده است. پس از ورود هیدروژن به درون آلیاژ آلمینیوم ۷۰۷۵ به دلیل تجمع رسوب‌های فاز دوم در مرزدانه‌ها و میل ترکیبی بالای هیدروژن با رسوب‌ها، در مرزهای دانه تردی هیدروژنی اتفاق می‌افتد. در نهایت در اثر اعمال نیرو، ترک‌هایی از اطراف رسوب‌های فاز دوم جوانه‌زده، شروع به رشد می‌کند.

۴- نتیجه‌گیری

استحکام کششی آلیاژ آلمینیوم ۷۰۷۵ هیدروژن‌دهی شده پس

واژه‌نامه

1. retrogression and re-aging
2. spark emission spectroscopy
3. mahout textiles
4. Olympus

مراجع

1. اسمیت، و.. "ساختار، خواص، و کاربرد آلیاژهای مهندسی"، ترجمه‌ی اکرامی، ع.ا، و سیدریحانی، س.م، انتشارات علمی دانشگاه صنعتی شریف، تهران، ۱۳۹۰.
2. Clark, R., Coughran, B. and Traina, I., "On the Correlation of Mechanical and Physical Properties of 7075-T6 Al Alloy", *Engineering Failure Analysis*. Vol. 12, pp. 520–526, 2005.
3. Oñoro, J., "The Stress Corrosion Cracking Behavior of Heat-Treated Al-Zn-Mg-Cu Alloy in Modified Salt Spray Fog Testing", *Ingeniería Y Ciencia De Los Materiales*, Vol. 12, pp. 280-285, 2009.
4. Anthony, W., Meller,P. and Bernstein, I. M., "Stress Corrosion Cracking in Equiaxed 7075 Aluminum Under Tension and Torsion Loading", *Metallurgical Transactions A.*, Vol. 20a, pp.2564-2573, 2011.
5. Song-Yi, Ch., Kanghua, Ch., Guosheng, P., Xin, L. and Xue-hai, Ch., Effect of Quenching Rate on Microstructure and Stress Corrosion Cracking of 7085 Aluminum Alloy", *Transactions of Nonferrous Metals Society of China*, Vol. 22, pp. 47-52, 2012.
6. Ranganatha, R., kumar, V.A., Nandi, V.S., Bhat R.R. and Muralidhara, B.K., "Multi-Stage Heat Treatment of Aluminum Alloy AA7049", *Transactions of Nonferrous Metals Society of China*, Vol. 23, pp. 1570-1575, 2013.
7. Deaquino, R., Gutiérrez, E., Estrada, I., Hinojosa, G., García, E., Herrera, J.M., Pérez,R. and Martínez, R., 'Structural Characterization of Aluminium Alloy 7075–Graphite Composites Fabricated by Mechanical Alloying and Hot Extrusion", *Materials and Design*, Vol. 53, pp. 1104–1111, 2014.
8. Matsumoto, R., Taketomi, S., Matsumoto, S. and Miyazaki, N., "Atomistic simulations of hydrogen embrittlement", *International Journal of Hydrogen Energy*, Vol. 34, pp. 9576–9584, 2009.
9. ASTM International, "B209 Aluminum and Aluminum-Alloy Sheet and Plate", *Annual Book of ASTM Standards*, Vol. 02, 2002.
10. نصر اصفهانی، م..،عسکری پیکانی، م. و مرآتیان، م..،"عملیات حرارتی T73 آلیاژ آلومینیوم T6-7075 پوشش دار"، مجموعه مقالات نهمین سمینار ملی مهندسی سطح و عملیات حرارتی ایران، دانشگاه علم و صنعت ایران، ۲۴-۲۵ اردیبهشت ۱۳۸۷.
11. Jian-Guo, T., Hui, C., Xin-Ming, Z., Sheng, L., Wen-Jun, L., Hui, O. and Hong-Ping, L., 'Influence of Quench-Induced Precipitation on Aging Behavior of Al-Zn-Mg-Cu Alloy", *Transactions of Nonferrous Metals Society of China*, Vol. 22, pp.1255-1263, 2012.
12. ASTM International, "E8-01 Tension Testing of Metallic Materials", *Annual Book of ASTM Standards*, Vol 01.02, 2001.
12. Abolhasani, A., Zarei, A., Abedi,H.R. and Rokni, M. R., "The Room Temperature Mechanical Properties of Hot Rolled 7075 Aluminum Alloy", *Materials and Design*, Vol. 34, pp. 631–636, 2012.
13. Magd, E. and Brodman, M., "Influence of Precipitates on Ductile Fracture of Aluminium Alloy AA7075 at High Strain Rates", *Materials Science and Engineering A*, Vol. 307, pp. 143–150, 2001.
14. Wang, D., Ma, Z.Y. and Gao, Z.M., "Effects of Severe Cold Rolling on Tensile Properties and Stress Corrosion Cracking of 7050 Aluminum Alloy", *Materials Chemistry and Physics*, Vol. 117, pp. 228–233, 2009.
15. Jin-Feng, L., Zhuo-Wei, P., Chao-Xing, L., Zhi-Qiang, J., Wen-Jing, C. and Zi-Qiao, Z., "Mechanical Properties, Corrosion Behaviors and Microstructure of 7075 Aluminium Alloy with Various Aging Treatments", *Transactions of Nonferrous Metals Society of China*, Vol. 18, pp. 755_762, 2008.
16. Wang, Y., Pan, Q., Wei, L., Li, B. and Wang, Y., "Effect of Retrogression and Re-aging Treatment on the Microstructure and Fatigue Crack Growth Behavior of 7050 Aluminum Alloy Thick Plate", *Materials and Design*, Vol. 55, pp. 857–863, 2014.